

# 矢板式基礎の計算法に関する考察(続)

阪神高速道路公団 正会員 前原 博

## 1. まえがき

矢板式基礎の計算法として都航的なモデルでとらえた場合の計算式の説明について、昨年の大会で報告した。この式の特徴は基礎の根入部を部材の集合体としてとらえ、集合体の全体的な曲げモーメント  $M_g$  と、全体の部材モーメント  $M_p$  とにモーメントを分けて考えるところにある。そのため部材との断面力 ( $N_i, m_i, Q_i$ ) に対して集合体全体の断面力 ( $N, M_g, M_p, Q$ ) を定義して、断面力の釣合条件式を集合体中心線の変位関数 ( $\varphi_{m0}, \varphi_{g0}, u_0$ ) で表したもののが連立微分方程式となり、これを都航的モデルの基本釣合方程式とした。そしてこの基本方程式の一般解と積分定数間の釣合条件式を求めた。この計算式は地盤反力係数を工夫して用いることにより、矢板式基礎のもとより、杭基礎及び多柱式基礎に対しても、モデルの共通性から共通して使用できるものとみられる。

今回は矢板式基礎の特徴である隣接する矢板間の継手処理の効果を考慮するための便宜的な方法について考察を行った。以下で使用する記号については説明を省いたものについては前報告(第35回年次大会概要集III-206, pp. 410~411)を参照して下さい。

## 2. 継手処理効果のモデル化

継手処理の効果を単純化して、継手が滑り始めようとする時の摩擦抵抗力を、部材間に分布する抵抗せん断力とみなして、部材間に以下の微小要素に働く外力を図-6のように考える。この要素の釣合式は次のようく表せる。

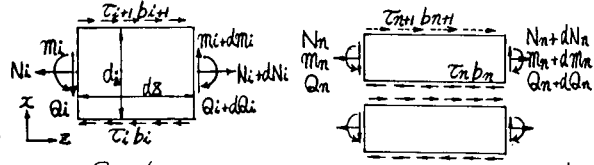


図-6

$$\begin{aligned} N'_i &= T_{ib} - T_{i+1,b+1}, \quad m'_i = Q_i - \frac{1}{2}(T_{ib} + T_{i+1,b+1})d_i, \quad Q'_i = 0 \quad (19) \\ \text{ここに, } T &\text{は抵抗せん断応力度, } b \text{ はその分布幅である。次に部材がのみ重ねられた場合について考} \\ \text{える。図-7にその要素モデルを示す。これに} &\text{つて全体の} \\ \text{断面力 } (N, M_g, M_p, Q) \text{ についての釣合を考} &\text{える。最外端の } T_{ib} = T_{nH,b_{n+1}} = 0 \text{ で} \\ \text{かるので, } N' &= 0, \quad M_g' = \sum_{i=1}^n T_{ib} (T_{ib} - T_{i+1,b+1}) = f_1, \quad \left. \begin{array}{l} \\ \end{array} \right\} (20) \\ M_p' &= Q - \frac{1}{2} \sum_{i=1}^n d_i (T_{ib} + T_{i+1,b+1}) = Q - f_2, \quad Q' = 0 \end{aligned}$$

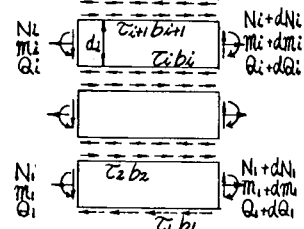


図-7

となる。ここで簡単化のために部材はすべて等しく、部材間に働く外力をすべて等しいと仮定する。すると上式の  $f_1$  と  $f_2$  は等しくなり、これを  $f$  とすると次のようになる。  

$$f = h \cdot Tb \cdot (D-d) \quad (21)$$

ここに、 $h$  は矢板配列の形状により決まる係数であり、直列のとき 1, 円形では 2 で荷重方向の隔壁数により増加する。 $d$  は部材間距離,  $(D-d)$  は最遠部材の中心間距離である。

## 3. 釣合式と特殊解

式(21)を考慮して式(20)を整理し、さらに水平地盤反力  $f$  が作用するものとして式(20)を整理すると次式になる。

$$N' = 0, \quad M_g' = f, \quad M_p' - Q = -f, \quad Q' - g = 0 \quad (22)$$

上式の断面力を全体中心線の変位関数 ( $\varphi_{m0}, \varphi_{g0}, u_0$ ) で表したもののが、釣合方程式となる。そこで  $f \neq 0$  とした場合の一級解については、前報告で既に求めている。ここでは  $f$  について最も単純な定数とした場合についての特殊解を求める。 $\varphi_{m0}$  については他と独立して取り扱いがいいので、 $\varphi, \varphi_{g0}, u_0$  に対する特殊解を  $\varphi_p, \varphi_{gp}, u_{op}$  とかくと次のようになる。

$$(a) 気中構造体の場合 \quad \varphi_p = -\frac{f}{2EI_g} Z^2, \quad \varphi_{gp} = \frac{f}{2E} \left( \frac{1}{I_p} + \frac{1}{I_g} \right) Z^2, \quad u_{op} = \frac{f}{6EI_p} Z^3 \quad (23)$$

$$(b) 土中構造体の場合 \quad \varphi_p = -\frac{f}{2EI_g} Z^2, \quad \varphi_{gp} = \frac{f}{2EI_g} Z^2 - \frac{f}{GA_g}, \quad u_{op} = 0 \quad (24)$$

#### 4. 計算例及び考察

模型体による載荷実験<sup>1)</sup>を行っており、その模型体を対象として計算(大例)を図-8, 9に示す。模型の縮尺は1/20で、直径1.596m、長さ1.573mでその内の頂版コンクリートの厚さは0.29m。鋼管外板は径59mm、肉厚9mm、縫手管は径8mm、肉厚0.8mmで内型の外壁に68本、中の十字型隔壁に41本の矢板を使用している。

計算に当っては模型体の人工地盤の土質調査結果から地盤反力係数を推定したが、水平地盤反力係数 $k_H$ に対しては中詰土砂の抵抗を考慮する意味で、隔壁及び背面側の矢板が地盤反力を受け $\approx 1 \sim 3 k_H$  ( $a=3$ ) とし、鉛直地盤反力係数 $k_N$ に対しては矢板本管1本の密閉断面積に対する地盤反力係数を用いた。また縫手管部分の抵抗値としては模型体の製作の難しさを考慮して、 $C_b=2 k_N/m^2$  と仮定し、 $C_b=5 k_N/m^2$  の場合とこれを無視した場合の2ケースの試算をした。

図-8の(a)図は矢板根入部の変位( $u_0$ )であり、(b)図は $u_0 = u_{M0} + u_{Mo} + u_{L0}$  の変位成分の $u_M$ (全体曲げ変位及び回転変位)と、 $u_{M0}$ (部材曲げ変位)の相対変位量をハサ中心深さ85cmの変位を0として図示したものである。なお $u_M$ (せん断変位)は値が小さないので省いた。この分布は本来複雑なものだが、 $u_{M0}$ ( $u_{L0}$ )の角度の正負が根入部のほぼ中央で反転しているので、ここでは大胆に根入の中央での作用方向を反転させて計算した。この結果から変位に対する影響はあまり大きくなはないといえよう。

図-9は前面側矢板の応力度分布について、実験値及び他の計算値と比較したものである。実験値の特徴は矢板頭部の頂版との固定部で著しい固定モーメントが発生し、矢板の応力度の正負が根入途中で逆転していること、矢板頭部の内側の圧縮応力度が最大値を示していることである。現行計算法では固定モーメントが発生する現象は考慮されていないのであるが、応力度の絶対値は実験値をカバーしている。これに対し本計算法やくい計算法(変形法)は実験値の傾向とよく合っている。本計算法はくい計算法がくい頭部との釣合から計算式を立てておらず、これに対し、根入部の変位成分の影響を考慮しているため、より合理的なものとなっている。またこの効果については応力度に対する変位に対するものより大きな影響が生じている。しかし、厳密に考へたわけではないうが、縫手処理の効果については基礎工としての実用的な精度から考へると、これを無視して取扱つてよほどの体にならぬかと思われる。

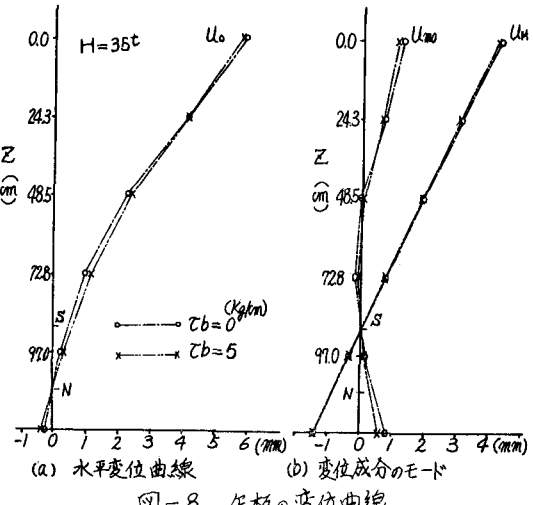


図-8 矢板の変位曲線

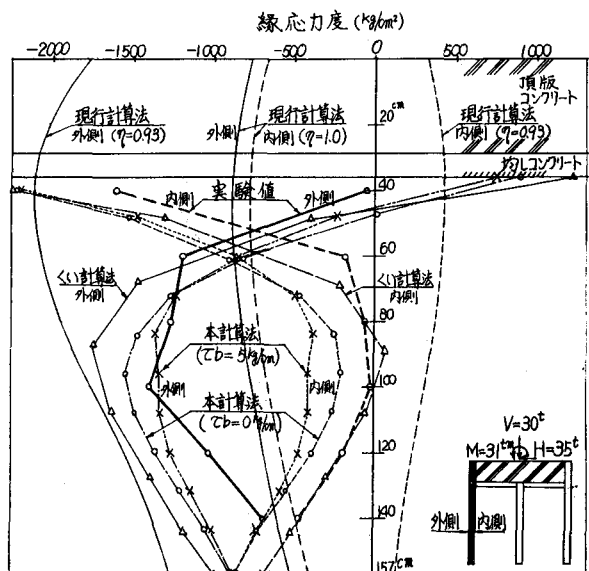


図-9 前面矢板の応力度分布

- 参考文献 1) 佐戸他; 矢板式基礎の構造特性に関する模型実験、橋梁と基礎 10-5, 1976, pp.27~33  
訂 正 前報告(第35回年次大会概要集Ⅲ-206) PR.411, ①上より2行目: 軸力及び $M_L$  → 軸力及び $M_G$   
②式(4)の下側中央:  $\theta = \frac{\partial \psi}{\partial z} \rightarrow \theta = \frac{\partial \psi}{\partial z}$  ③式(P)の末尾:  $I_p = \sum_i I_{p,i} \rightarrow I_p = \sum_i I_{p,i}$